

Augmented Reality(AR): Issues, Trends and Challenges

Malik MALLEM

IBISC
 Equipe IRA² : Interactions, Réalité Augmentée, Robotique Ambiaute
 40, rue du Pelvoux
 91020 Courcouronnes Cedex

TSP - IMA4503 - Augmented Reality : Issues, Trends and Challenges

1

Outline of talk

- Introduction
- Sensors modeling and calibration
- Visual and Hybrid tracking
- AR' Projects
- Conclusions and challenges

TSP - IMA4503 - Augmented Reality : Issues, Trends and Challenges

M. Mallem 2

Introduction

- **Definition** : Augmented Reality (AR) enhances, complete, restore, predict the reality.
- **Objective** : enhance user perception in his real environment. Enhancement could concern all user senses like visual, audio and haptic.
- **Research** : tracking and registration problem is one of the most fundamental challenges, which is still open.

TSP - IMA4503 - Augmented Reality : Issues, Trends and Challenges

M. Mallem 3

ibisc

Introduction

• Augmented Reality:

- Combination of virtual data and real scenes.

• Need to ensure visual coherence between two worlds:

- Estimation of the camera pose (position and orientation).

• Vision-based methods widely used:

- Still sensitive to outdoor conditions (mobility, change in brightness, occlusion, ...).

TSP - IMA4503 - Augmented Reality : Issues, Trends and Challenges

ibisc

Introduction

Mixed reality

Real environment Augmented reality Augmented virtuality Virtual environment

Real–Virtual Continuum [Milgram 1994]

- Fondamental Rules of AR System:**
 - real/virtual Registration
 - real-time Interaction
 - sensorial coherence

TSP - IMA4503 - Augmented Reality : Issues, Trends and Challenges

M. Mallem 5

ibisc

Introduction

Synthetic (computer graphics)

Artificiality

Physique (real world)

Augmented Reality

Virtual Reality

Physical Reality

Transport

Presence

Local (user is in real world)

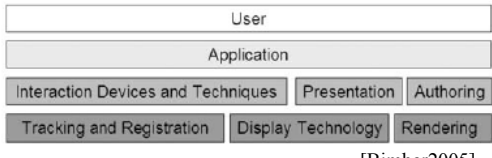
distant (user is far from real world)

Benford Classification[Benford 1998]

M. Mallem 6

ibisc  **Introduction AR System**

AR System allows virtual enhancement of real environment and and real time interaction.



[Bimber2005]

TSP - IMA4503 - Augmented Reality : Issues, Trends and Challenges M. Mallem 7

ibisc  **Introduction AR System**

Constraints :

- Augmented Reality System require targets visibility to allow tracking
- The tracking methods may fail under unfavorable conditions of the environment, due to:
 - Presence of important noise
 - Lighting/contrast conditions
 - Occlusion of the target object by an other object

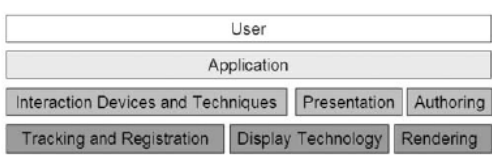
Challenges :

- Localization in real time of the tracking system
- Partial/Total occlusion handling
- Sudden sensors motion
- Elaboration of a multimodal tracking architecture in presence of occlusion for Augmented Reality

TSP - IMA4503 - Augmented Reality : Issues, Trends and Challenges M. Mallem 8

ibisc  **Introduction AR System**

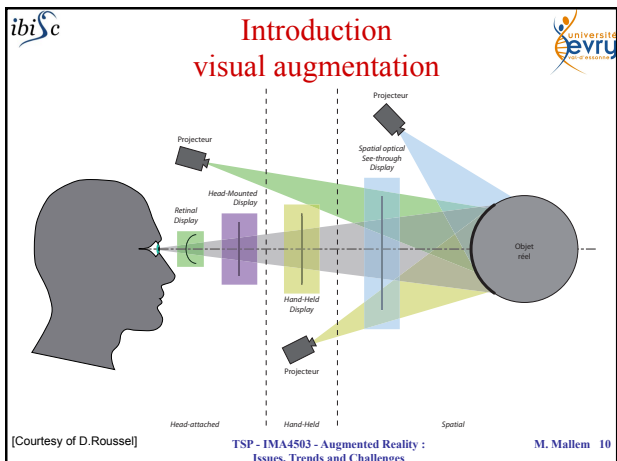
AR System allows virtual enhancement of real environment and and real time interaction.

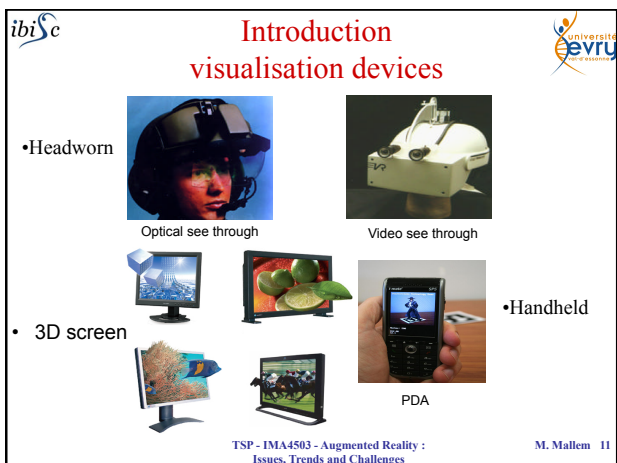


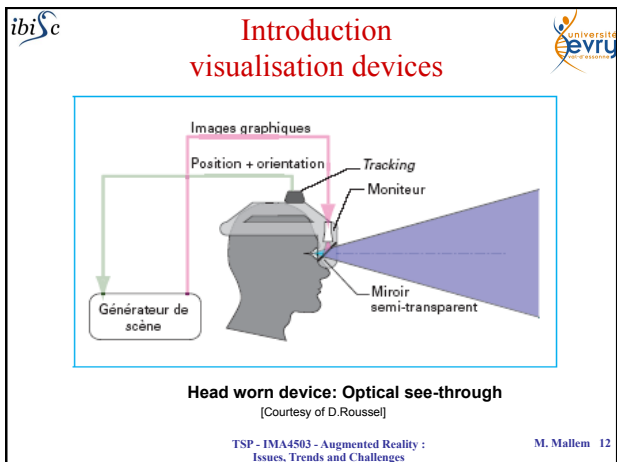
[Bimber2005]

Keywords : Sensors Calibration, 3D modelling, Prediction, 3D registration, Tracking, Rendering, Tangible interface, 3D interaction, Data presentation, Scenario presentation.

TSP - IMA4503 - Augmented Reality : Issues, Trends and Challenges M. Mallem 9







ibisci **Introduction visualisation devices** *Université Evry*

Head worn device: Video see-through
[Courtesy of D.Roussel]

TSP - IMA4503 - Augmented Reality :
Issues, Trends and Challenges

M. Mallem 13

ibisci **Introduction Localisation sensors** *Université Evry*

IMU US camera

Magnetic GPS

TSP - IMA4503 - Augmented Reality :
Issues, Trends and Challenges

M. Mallem 14

ibisci **Introduction Wearable AR devices** *Université Evry*

Tracker (hidden)

Video Camera

Head-Mounted Display

GPS Sensor

Laptop

Touch Pad

[Behzadan 2005]

TSP - IMA4503 - Augmented Reality :
Issues, Trends and Challenges

M. Mallem 15

Outline of talk

- Introduction
- Sensors modeling and calibrating
- Visual and Hybrid tracking
- IBISC' Projects
- Conclusions and challenges

Sensor(s) Modelling and calibration

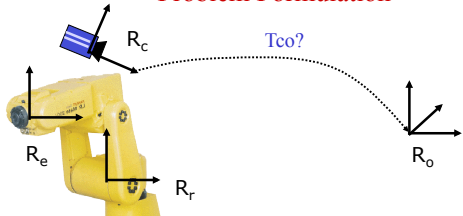
Sensor (s) =

- 3D sensor → 3D reconstruction
- camera → real/virtual superimposition
- robot → 3D reconstruction, automatic camera calibration

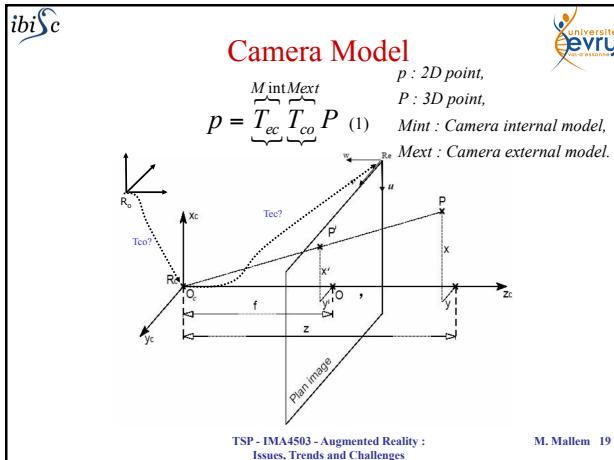
Pre-condition :
Learning Points in different coordinates frames

Post-condition :
Sensor(s) parameters

Example : Camera Modelling and Calibration Problem Formulation



R_c : Camera Frame
 R_r : Robot Frame
 R_e : End-Effector Frame
 R_o : Object Frame



ibisc

Camera Model

$(1) \Leftrightarrow \begin{bmatrix} su \\ sv \\ s \end{bmatrix} = M^{\text{int}} M^{\text{ext}} \begin{bmatrix} X \\ Y \\ Z \\ 1 \end{bmatrix} = M \begin{bmatrix} X \\ Y \\ Z \\ 1 \end{bmatrix}$

 $\begin{bmatrix} su \\ sv \\ s \end{bmatrix} = \begin{bmatrix} m_{11} & m_{12} & m_{13} & m_{14} \\ m_{21} & m_{22} & m_{23} & m_{24} \\ m_{31} & m_{32} & m_{33} & m_{34} \end{bmatrix} \begin{bmatrix} X \\ Y \\ Z \\ 1 \end{bmatrix} = \begin{bmatrix} m_1 & m_{14} \\ m_2 & m_{24} \\ m_3 & m_{34} \end{bmatrix} \begin{bmatrix} X \\ Y \\ Z \\ 1 \end{bmatrix} \Leftrightarrow \begin{cases} u = \frac{P' m_1 + m_{14}}{P' m_3 + m_{34}} \\ v = \frac{P' m_2 + m_{24}}{P' m_3 + m_{34}} \end{cases} \quad (2)$
 $\Leftrightarrow \begin{cases} P' n_u + a_u = 0 \\ P' n_v + a_v = 0 \end{cases} \text{ avec } n_u = m_1 - u m_3 \quad n_v = m_2 - v m_3 \quad a_u = m_{14} - u m_{34} \quad a_v = m_{24} - v m_{34}$

(2) : Equation of a visual ray including P , p and Oc .

TSP - IMA4503 - Augmented Reality :
Issues, Trends and Challenges

M. Mallem 20

ibisc

Camera Calibration mij Estimation

$(2) \Leftrightarrow \begin{cases} u = m_{11}x + m_{12}y + m_{13}z + m_{14} \\ m_{31}x + m_{32}y + m_{33}z + m_{34} \\ m_{21}x + m_{22}y + m_{23}z + m_{24} \\ m_{31}x + m_{32}y + m_{33}z + m_{34} \end{cases} \quad (3)$

*6 non coplanar points at least are used.

$(3) \Leftrightarrow \begin{cases} m_{11}x_i + m_{12}y_i + m_{13}z_i + m_{14} - u_i m_{31}x_i - u_i m_{32}y_i - u_i m_{33}z_i = u_i m_{34} \\ m_{21}x_i + m_{22}y_i + m_{23}z_i + m_{24} - v_i m_{31}x_i - v_i m_{32}y_i - v_i m_{33}z_i = v_i m_{34} \end{cases} \quad (4)$

*Least square method is applied to estimate mij.

TSP - IMA4503 - Augmented Reality :
Issues, Trends and Challenges

M. Mallem 21

ibisc **Calibration de caméra**
mij Estimation

•2N équations for N known points, are expressed as :

$$\begin{bmatrix} x_i & y_i & z_i & 1 & 0 & 0 & 0 & 0 & -u_i x_i & -u_i y_i & -u_i z_i \\ 0 & 0 & 0 & 0 & x_i & y_i & z_i & 1 & -v_i x_i & -v_i y_i & -v_i z_i \\ \vdots & & & & \vdots & & & & \vdots & & \vdots \\ 0 & 0 & 0 & 0 & x_i & y_i & z_i & 1 & -u_i x_i & -u_i y_i & -u_i z_i \\ & & & & \vdots & & & & \vdots & & \vdots \end{bmatrix} = \begin{bmatrix} m_{11} \\ m_{12} \\ m_{13} \\ m_{14} \\ m_{21} \\ m_{22} \\ m_{23} \\ m_{24} \\ m_{31} \\ m_{32} \\ m_{33} \end{bmatrix} \quad (5)$$

•(5) represents a linear system : $H.m = p$

•Estimation of mij is obtained as follows : $m = (H^T.H)^{-1}.H^T.p \quad (6)$

TSP - IMA4503 - Augmented Reality : Issues, Trends and Challenges M. Mallem 22

ibisc **Camera calibration :**
application

Applications :

- Virtual/Real models Superimposition,
- Camera calibration using robot data.

TSP - IMA4503 - Augmented Reality : Issues, Trends and Challenges M. Mallem 23

ibisc **Outline of talk**

- Introduction
- Sensors modeling and calibrating
- Visual and Hybrid tracking
- IBISC' Projects
- Conclusions and challenges

TSP - IMA4503 - Augmented Reality : Issues, Trends and Challenges M. Mallem 24

ibisc

Tracking

Objective: virtual ans real worlds coherence

Pre-conditions :
 -Sensor(s) modelling and calibration,
 -Target(marker) image processing,
 -Partial virtual model of the environment known.

Post-condition :
 Pose sensor(s) updating

TSP - IMA4503 - Augmented Reality :
 Issues, Trends and Challenges

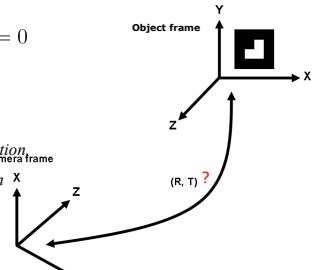
M. Mallem 25

ibisc

Tracking Problem Formulation

$F(p, P, M_{int}, R, T) = 0$

p : 2D point,
 P : 3D point,
 M_{int} : Camera model,
 R : Camera/Object orientation_{camera frame},
 T : Camera/Object position



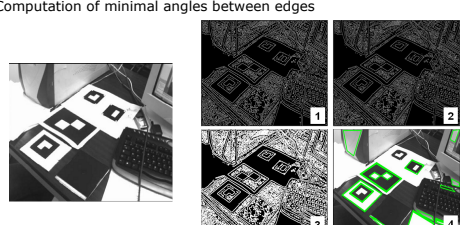
TSP - IMA4503 - Augmented Reality :
 Issues, Trends and Challenges

M. Mallem 26

ibisc

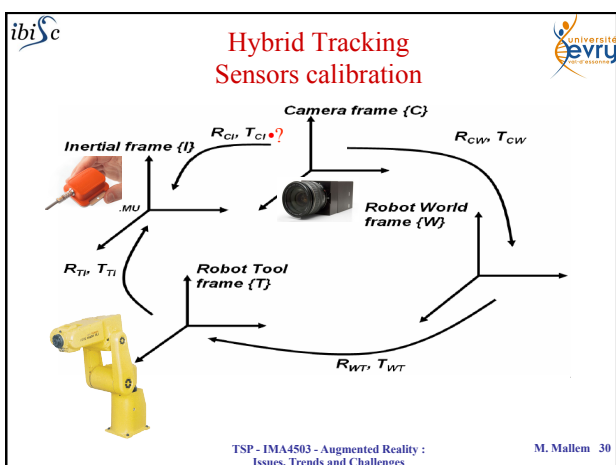
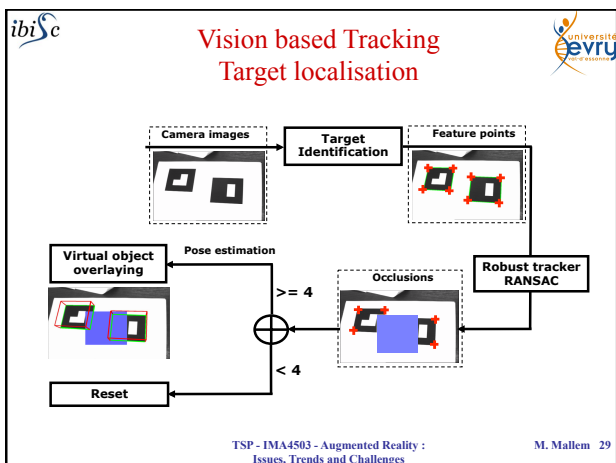
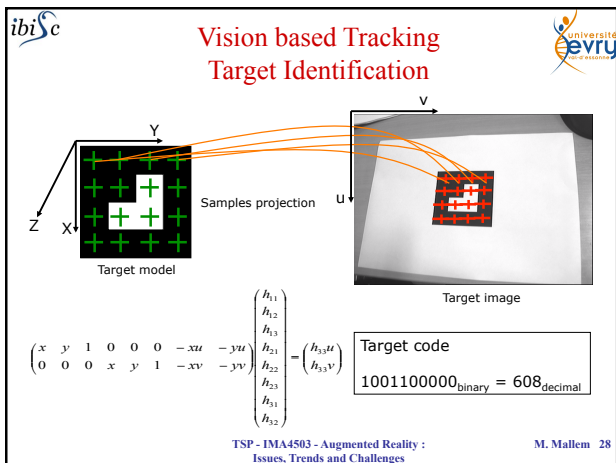
Vision based Tracking Image processing

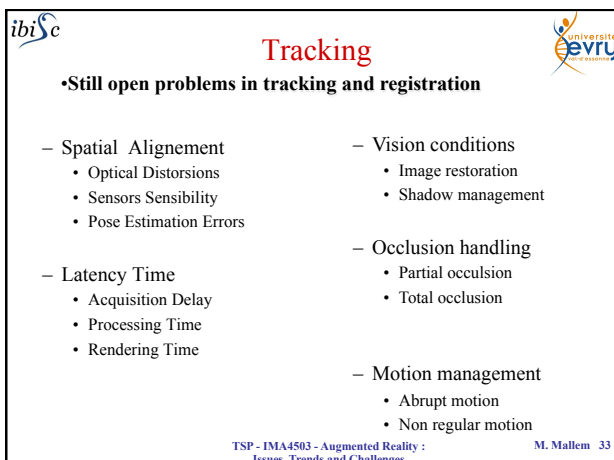
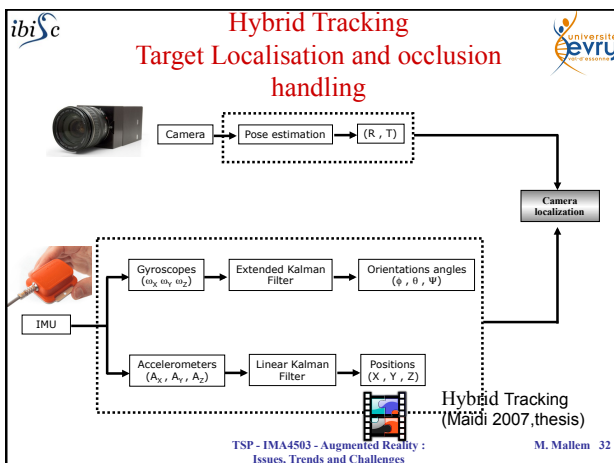
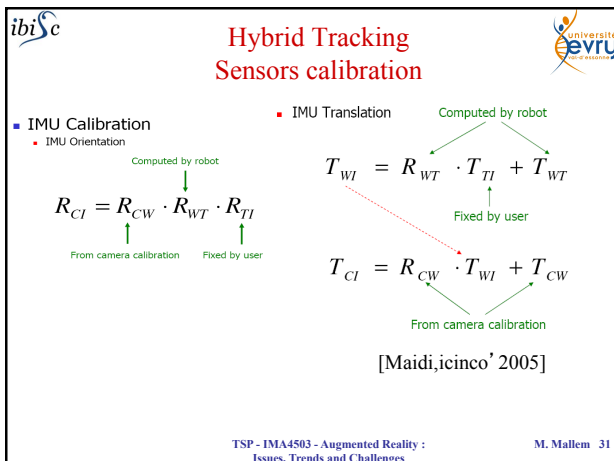
1. Contours detection
 2. Image smoothing
 3. Image dilatation
 4. Polygonal approximation of contour
 5. Computation of minimal angles between edges



TSP - IMA4503 - Augmented Reality :
 Issues, Trends and Challenges

M. Mallem 27





ibisc **Outcome and future works** 

- This work allowed to :
 - overcome some limitations related to the realization of a tracking system in AR.
 - solve the problem of markers registration by establishing a multimodal architecture of tracking and occlusion handling.
- This architecture is composed of :
 - registration module of coded targets.
 - module of feature points tracking and occlusions management.
 - multi-sensors tracking part.
- Experimental results proved that the proposed architecture :
 - can track visible, partially or totally occluded targets.
 - computes there pose under various camera viewpoints in real time.
- Our future work is to :
 - develop a markerless system which uses natural markers instead of coded targets.
 - improve the hybrid tracking system by compensating the IMU drift and using another positioning sensor to obtain more accurate positions.

TSP - IMA4503 - Augmented Reality :
Issues, Trends and Challenges M. Mallem 34

ibisc **Outline of talk** 

- Introduction
- Sensors modeling and calibrating
- Visual and Hybrid tracking
- AR Projects
- Conclusions and challenges

TSP - IMA4503 - Augmented Reality :
Issues, Trends and Challenges M. Mallem 35

ibisc **Potential Applications** 



Medical



Maintaining



Military



Entertainment

TSP - IMA4503 - Augmented Reality :
Issues, Trends and Challenges M. Mallem 36



Some Generic AR projects



- Generic projects
- [Sutherland](#) : [Sutherland, 1968] - USA – Video see through+robot
• (AR Faisability)
- [KARMA](#) : [Feiner et al., 1993 et [1996](#)] -US- mono vision+US
- AR2Hockey : [Ohshira et al., 1998]-Japon- i-glasses+Polhemus
• (hockey game on real table - puck is virtuel)
- CAMELOT : [Broll et al., 2000] -Germany - Sony LDI100 +2 cameras
• (Collaborative AR)
- iMAGIS: [Grasset et Gascuel, 2001] - France - i-glasses +Flock of birds
• (Collaborative AR)

TSP - IMA4503 - Augmented Reality :
Issues, Trends and Challenges

M. Mallem 37



Some AR Industrial Projects



- [Boeing](#) : [Neunmann et Majoros, 1998] -US- coded markers
• (Aircraft Conception and maintaining),
- ARVIKA : [Arvika, url 1999]- Germany- coded markers
- (**Conception et maintenance industrielle**) <http://www.arvika.de>
- ARTESAS : [Arvika, url 2004]- Germany- markerless
• (Industrial Conception and maintaining)
- Starmate : [Schwald et de Laval, 2003]-(ZGDV+EADS)
• (Industrial Conception and maintaining)
- AMRA : [Didier et al., 2005]-France
• (Train Conception and maintaining)

TSP - IMA4503 - Augmented Reality :
Issues, Trends and Challenges

M. Mallem 38



Some links and references



- <http://www.se.rit.edu/~jrv/research/ar/>
- [**Sutherland, 1968**] I. Sutherland (1968). A head-mounted three dimensional display. Computer Conference, pages 757–764, Washington DC. Thompson Books.
- [**Ohshira et al., 1998**] T. Ohshira, K. Satoh, H. Yamamoto, et H. Tamura (1998). Ar2hockey : A case study of collaborative augmented reality. Dans Proceedings of IEEE Virtual Reality Annual International Symposium (VRAIS' 98), pages 268–275, Atlanta.
- [**Broll et al., 2000**] W. Broll, E. Meier, et T. Shadrt (2000). The virtual round table : a collaborative augmented multi-use environment. Dans Proceedings of ACM Collaborative Virtual Environments, pages 39–46, San Francisco. ACM.
- [**Grasset et Gascuel, 2001**] R. Grasset et J.-D. Gascuel (2001). Environnement de réalité augmentée collaboratif : Manipulation d'objets réels et virtuels. Dans AFIG '01 (Actes des 14èmes journées de l'AFIG), pages 101–112.
- [**Feiner et al., 1993**] S. Feiner, B. MacIntyre, et D. Seligmann (1993). Knowledge-based augmented reality. Communications of the ACM, 36(7) :52–62.

TSP - IMA4503 - Augmented Reality :
Issues, Trends and Challenges

M. Mallem 39

Some links and references

[Neumann et Majoros, 1998] U. Neumann et A. Majoros (1998). Cognitive, performance and system issues for augmented reality applications in manufacturing and maintenance. Dans Proceedings of IEEE Virtual Reality Annual International Symposium (VRAIS' 98), pages 4–11, Atlanta. IEEE.

[Arvika, url] Arvika augmented reality for development, production and servicing.
http://www.arvika.de.

[Schwald et de Laval, 2003] B. Schwald et B. de Laval (2003). An augmented reality system for training and assistance to maintenance in the industrial context. Dans Proc. 11th International Conference in Central Europe on Computer Graphics, Visualization and Computer Vision' 2003 (WSCG).

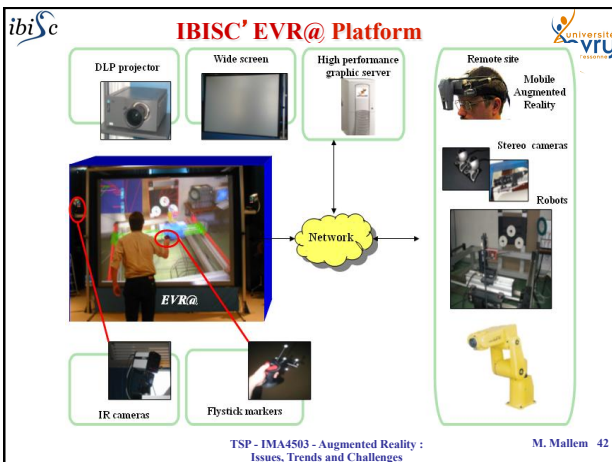
[Didier et al., 2005] J.-Y. Didier, D. Roussel, M. Mallem, S. Otmane, S. Naudet, Q.-C. Pham, S. Bourgeois, C. Mégarde, C. Leroux, et A. Hocquard (2005). Amra : Augmented reality assistance in train maintenance tasks. Dans Workshop on Industrial Augmented Reality (ISMAR' 05), Vienne, Autriche.

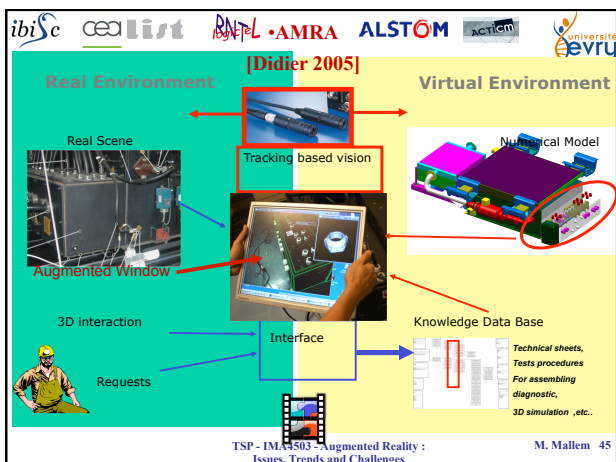
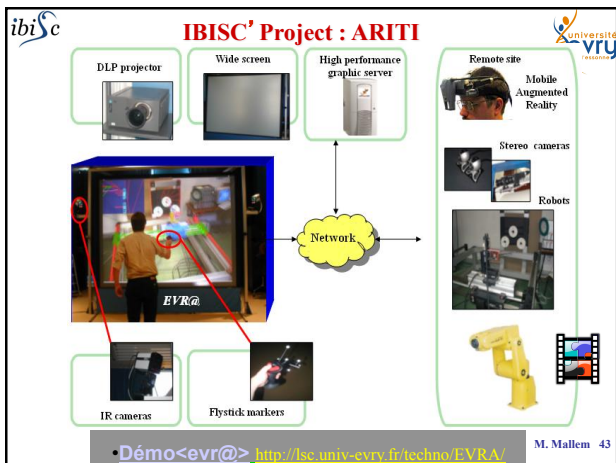
TSP - IMA4503 - Augmented Reality :
Issues, Trends and Challenges M. Mallem 40

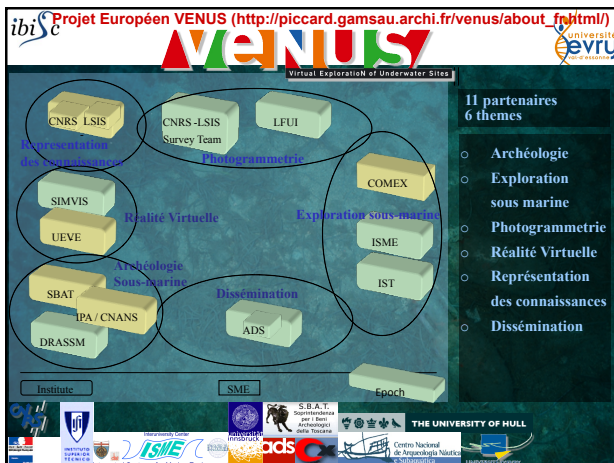
IBISC' Projects

- **Tele Robotique**
- **Industrial application**
- **AR for Archeology**
- **Outdoor AR**

TSP - IMA4503 - Augmented Reality :
Issues, Trends and Challenges M. Mallem 41



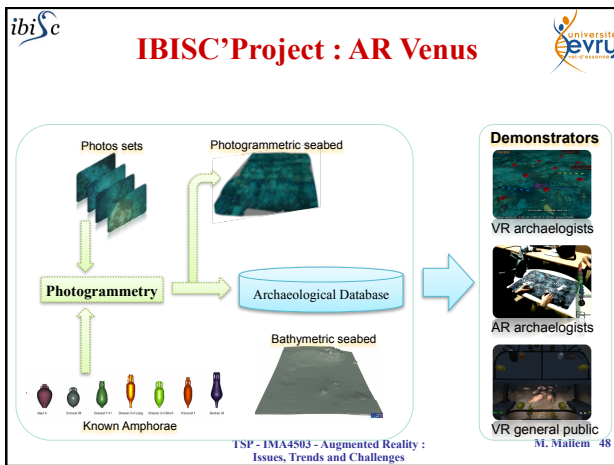




The logo features the "ibisc" logo at the top left and "université Evry" at the top right. The center text reads "IBISC'Project : AR Venus" in red. Below it, in smaller text, is "European Project VENUS (http://piccard.gamsau.archi.fr/venus/about_fr.html)".

- VENUS: Virtual ExploratioN of Underwater Sites
- Deep wreck sites are out of reach of divers
- Provide technological tools for the virtual exploration of deep underwater archaeology sites

Logos of partners: LSIS Marseille, SIMVIS Univ. Hull - Augmented Reality : Issues, Trends and Challenges, Univ. Evry M. Mallem 47, THE UNIVERSITY OF HULL.



ibis Projet Européen VENUS (http://piccard.gamsau.archi.fr/venus/about_f.html)

AR Venus

AR + VR demonstrators

- 3D Map on a table
- AR + VR demonstrators

TSP - IMA4503 - Augmented Reality :
Issues, Trends and Challenges

M. Mallem 49

ibis

Archaeological Augmented Reality demonstrator - Goals

○ Use a real map representing the deep underwater site.

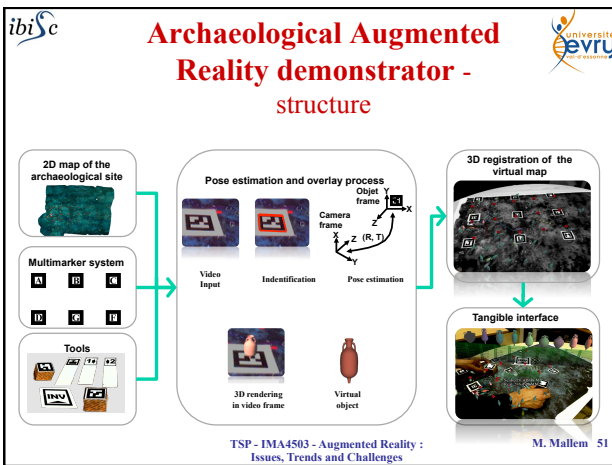
○ Enrich this map and complete the real-world perception by adding synthetic elements

○ Provide an easy tool to interact with the map with (real) tangible interface

○ Using a see-through HMD to see the real map augmented in real time with computer-generated features

TSP - IMA4503 - Augmented Reality :
Issues, Trends and Challenges

M. Mallem 50



ibisc **Archaeological Augmented Reality demonstrator** **université Evry Val d'Essonne**

- Pose estimation and overlay process
 - Goal
Project the 3D models of the seabed on the real 2D map using a system of visual markers identification and a pose estimation algorithm.
 - Registration process
 - Find all squares in the binary image.
 - match these targets to some pre-trained pattern templates.
 - The square size and pattern orientation are used to compute the position of the camera relative to the physical marker.
 - Overlay the 3D models on the real scene.

TSP - IMA4503 - Augmented Reality : Issues, Trends and Challenges M. Mallem 52

ibisc **Archaeological Augmented Reality demonstrator** **[Haydar 2008]** **université Evry Val d'Essonne**

- Tangible interface
 - Several moving targets have been associated with virtual tools such as measuring tool and inventory tool:
 - The inventory tool is attached to a single target and displays the site's artifacts inventory.
 - The measuring tool displays the distance within the VE between two attached targets.
 - These tools are activated whenever the camera identifies their corresponding patterns and discarded when they aren't visible anymore.
 - No learning or 3D skills required → tangible tools affordance

TSP - IMA4503 - Augmented Reality : Issues, Trends and Challenges M. Mallem 53

ibisc **ANR** **RAXENV** **université Evry Val d'Essonne**

IBISC' Project : RAXENV:

**Réalité Augmentée en eXterior
appliquée aux Métiers de
l' ENVironnement**

ANR Project
Dec 2006 – June 2010

Partners: **brgm**, **Luonnaise des Eaux Suez**, **ibisc**, **iparla**, **opsl**, **LIRyBRI**, **INRIA**, **ARCHI VIDEO**

TSP - IMA4503 - Augmented Reality : Issues, Trends and Challenges M. Mallem 54

ibisc **ANR Projet Raxenv (<http://raxenv.brgm.fr/>)** **université Evry Val d'Essonne**

Objective

- > Navigation and interaction of HO with AR system in different sites.





Castle restoration
Urban site
Panoramic site

TSP - IMA4503 - Augmented Reality :
Issues, Trends and Challenges

M. Mallem 55

ibisc **ANR Projet Raxenv (<http://raxenv.brgm.fr/>)** **université Evry Val d'Essonne**

ZENDJEBIL, VRST' 08]

- Technical Goal:
 - Replace vision subsystem when it fails.
- Issues:
 - Each sensor provides data in its own reference frame.
 - ☞ The pose provided by the Aid-Localization subsystem must be aligned with the camera reference frame.
 - The Aid-Localization subsystem is less accurate than vision subsystem.
 - ☞ We need to quantify the accuracy of measurements and improve the estimation of the localization.

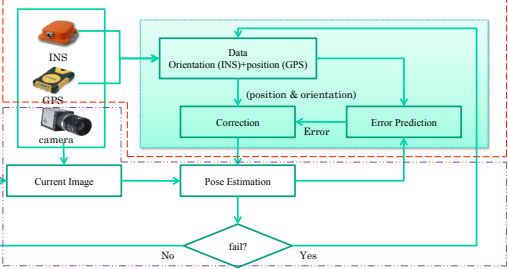
RAXENV

TSP - IMA4503 - Augmented Reality :
Issues, Trends and Challenges

M. Mallem 56

ibisc **Projet ANR Raxenv (<http://raxenv.brgm.fr/>)** **université Evry Val d'Essonne**

Sensors



Aid-localization Subsystem

```

graph TD
    Sensors[Sensor Data] --> INS[INS]
    Sensors --> GPS[GPS]
    Sensors --> Camera[Camera]
    INS --> Data[Data Orientation INS Position GPS]
    GPS --> Data
    Camera --> CurrentImage[Current Image]
    Data --> Correction[Correction]
    Data --> ErrorPrediction[Error Prediction]
    Correction --> PoseEstimation[Pose Estimation]
    ErrorPrediction --> Error[Error]
    Error --> PoseEstimation
    PoseEstimation --> Fail{Fail?}
    
```

Vision Subsystem

Current Image --> Pose Estimation

Fail? -- No --> Pose Estimation

Fail? -- Yes --> Vision Subsystem

RAXENV

TSP - IMA4503 - Augmented Reality :
Issues, Trends and Challenges

M. Mallem 57

ibis **Projet ANR Raxenv (<http://raxenv.brgm.fr/>)** 

How to align the Aid-Localization subsystem with camera reference frame ?



Two Calibration processes

- Inertial/Camera calibration.
- GPS/Camera calibration.

RAXENV TSP - IMA4503 - Augmented Reality : Issues, Trends and Challenges M. Mallem 58

ibis **Projet ANR Raxenv (<http://raxenv.brgm.fr/>)** 
[Zendjebil, Regard' 08]

• Inertial/Camera calibration define a relationship between camera and inertial sensor.

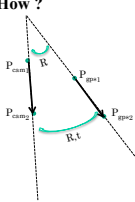
- Why ?
 - To deduce the camera's orientation from the orientation provided by the inertial sensor.
- How ?
 - Configuration of reference frames
 - Local Microsensor \rightarrow R_{ci}
 - To estimate R_{ci} and deduce R_{gw}
 - Assumption : the Z axis of the world reference frame R_w collinear with the Z axis of the global inertial reference frame R_i

$R_{cw} = R_{ci} R_{ig} R_{gw}$

RAXENV TSP - IMA4503 - Augmented Reality : Issues, Trends and Challenges M. Mallem 59

ibis **Projet ANR Raxenv (<http://raxenv.brgm.fr/>)** 

– GPS/Camera calibration define the transformation to deduce the GPS position with respect to world reference frame.

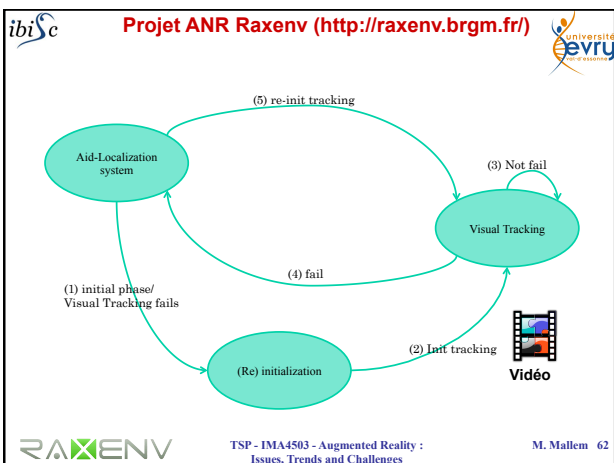
- Why ?
 - Deduce the camera's position from the GPS position
- How ?
 - 
 - $p_{cam} = Rp_{gps} + t$
 - $\sum_i^n \|p_{cam}^i - Rp_{gps}^i + t\|^2 \rightarrow \sum_i^n \|\vec{N}_{cam}^i - R\vec{N}_{gps}^i\|^2$
 - $\vec{N}_{gps}^i = p_{gps}^i - p_{gps}^j$
 - $\vec{N}_{cam}^i = p_{cam}^i - p_{cam}^j$

RAXENV TSP - IMA4503 - Augmented Reality : Issues, Trends and Challenges M. Mallem 60

ibisc **Projet ANR Raxenv (<http://raxenv.brgm.fr/>)** **Université Evry Val d'Essonne**

- Deduce camera pose from the Aid-Localization subsystem data and transformations obtained by the calibration.
 - Simple.
 - Efficient.
 - Do not require heavy assumptions.

RAXENV TSP - IMA4503 - Augmented Reality : Issues, Trends and Challenges M. Mallem 61



ibisc **Projet ANR Raxenv (<http://raxenv.brgm.fr/>)** **RAXENV**

Scenario : Saumur Castle

> Vision based Tracking

- Pose Estimation :
 - Based on interests points.
 - 2D/3D matching
 - Pose Estimation(orthogonal Iteration).

Video → 2D Points → 3D Points → 2D/3D Matching → Iteration orthogonale (minimisation erreur de re-projection) → Pose précédente

TSP - IMA4503 - Augmented Reality : Issues, Trends and Challenges M. Mallem 63

ibisc **Projet ANR Raxenv (<http://raxenv.brgm.fr/>)**

- The Aid-localization subsystem is less accurate than vision subsystem.
 - We need to quantify the quality of measurements and improve the estimation provided by the aid-localization subsystem.
- Our error = the difference with respect to the camera pose provided by vision subsystem.
- When the vision fails we need to predict this error
 - Record the offset between the hybrid sensor and camera pose during visual tracking.
 - Predict the offset made by hybrid sensor using Gaussian process when the visual tracking fails.
 - Improve the localization estimation.

RAXENV TSP - IMA4503 - Augmented Reality : Issues, Trends and Challenges M. Mallem 64

ibisc **Digital Ocean** **université evry val d'essonne**

IBISC' Project : Digital Ocean:

EU Project
Dec 2006 – June 2010

TSP - IMA4503 - Augmented Reality : Issues, Trends and Challenges M. Mallem 65

ibisc **Digital Ocean** **université evry val d'essonne**

De la création à la diffusion de contenus

Acquisition / Edition

Collaboration
Collaborative Plateforme Oce@nyd

Diffusion

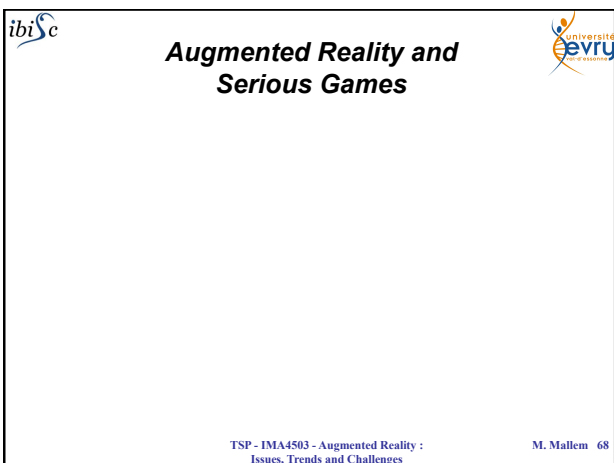
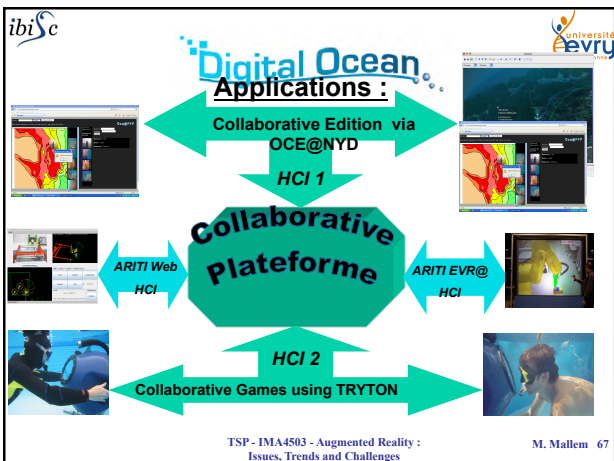
Anywhere:
- Internet
- CD-ROM

In immersion :
(thanks to TRYTON)
- Swimming pool
- Sea
- Ocean

Users community

Users community / other people

TSP - IMA4503 - Augmented Reality : Issues, Trends and Challenges M. Mallem 66



ibisc

References



- P. Milgram, H. Takemura, A. Utsumi, and F. Kishino. **Augmented reality: a class of displays on the reality-virtuality continuum.** In H. Das, editor, Proc. SPIE Vol. 2351, Telemanipulator and Telepresence Technologies, volume 2351 of Presented at the Society of Photo-Optical Instrumentation Engineers (SPIE) Conference, pages 282–292, December 1994.
- BENFORD S, GREENHALGH C, REYNARD G, BROWN C, KOLEVA B. - Understanding and Constructing Shared Spaces with Mixed-Reality Boundaries. ACM Transactions on Computer-Human Interaction (TOCHI), Vol. 5 (3), p. 185-223, septembre(1998).
- Ronald T. Azuma. **A survey of augmented reality.** Presence: Teleoperators and Virtual Environments, 6(4):355–385, August 1997.
- Oliver Bimber and Ramesh Raskar. **Spatial Augmented Reality: Merging Real and Virtual Worlds.** A. K. Peters, Ltd., Natick, MA, USA, 2005.
- Mallem, M. & Roussel, D. **Réalité augmentée. Principes, technologies et applications,** Techniques de l'Ingénieur, Technologies de l'Information, Le traitement du signal et ses applications (TE 5 920), 2008, 1,14

TSP - IMA4503 - Augmented Reality :
Issues, Trends and Challenges

M. Mallem 70

ibisc

References



- Behzadan A., Kama V., « Visualization of construction graphics in outdoor augmented reality», Source Winter Simulation Conference, Proceedings of the 37th conference on Winter simulation, Winter Simulation Conference, Orlando, Florida, p. 19141920, 2005.

TSP - IMA4503 - Augmented Reality :
Issues, Trends and Challenges

M. Mallem 71

ibisc

Outline of talk



- Introduction
- Sensors modeling and calibrating
- Visual and Hybrid tracking
- AR Projects
- Conclusions and challenges

TSP - IMA4503 - Augmented Reality :
Issues, Trends and Challenges

M. Mallem 72



AR Challenges



•Researchs :

- Software architecture for application prototyping
- tracking and registration problem is one of the most fundamental challenges, which is still open.
- Ubiquitous localization is also still open
- 3D real time natural interaction

TSP - IMA4503 - Augmented Reality :
Issues, Trends and Challenges

M. Mallem 73

**Vision 3D pour la réalité augmentée
application à la robotique**

✓ Plan du cours :

- 0. Introduction à la réalité augmentée,
- 1. **Modélisation et calibration de capteurs de vision 3D (Caméra(s))**

TSP IMA4503 - Vision 3D Modèles de capteurs M.Mallerm 1

**Vision 3D et robotique :
Mise en contexte**

R_C : repère de la caméra
R_r : repère du robot
R_e : repère effecteur
R_o : repère environnement

TSP IMA4503 - Vision 3D Modèles de capteurs M.Mallerm 2

Modélisation et calibration de capteurs/robot

Objectif : - DR3D → relevé 3D
si capteur = - caméra → superposition d'images
- robot → relevé 3D, calibration automatique

de caméra

Pré-condition :

Points d'apprentissage

Post-condition :

Paramètres du modèle du capteur

TSP IMA4503 - Vision 3D Modèles de capteurs M.Mallerm 3

Intérêt de la caméra :Calcul de position

- L'objectif est de connaître la position d'un objet dans l'espace à partir de sa position dans l'image

```

    graph LR
      A[Points image] --> B[Modèle de caméra]
      B --> C[Points 3D]
      C <--> D[Paramètres du modèle]
      D <--> E[Calibration]
  
```

La calibration sert à déterminer les paramètres du modèle. Il est réalisé une seule fois

TSP IMA4503 - Vision 3D Modeles de capteurs M.Mallem 4

Formation des images

Sténopé (idéal)

Caméra réelle

Problème : quantité de lumière insuffisante

Solution : utilisation d'une lentille

TSP IMA4503 - Vision 3D Modeles de capteurs M.Mallem 5

Formation des images

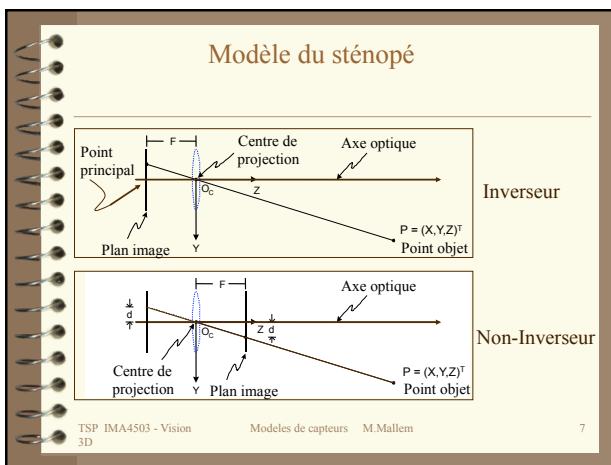
- Problèmes reliés à l'utilisation d'une lentille :
- Aberrations sphériques

•Distorsion radiale:
•négative (pincushion)
•positive (barrel-type)

•Aberration chromatique : la cause

*tirée de Forsyth

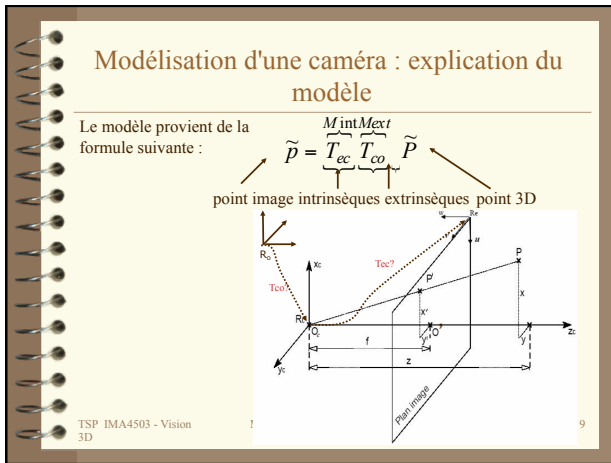
TSP IMA4503 - Vision 3D Modeles de capteurs M.Mallem 6



**Modélisation géométrique de caméra:
Hypothèses**

- Modèle linéaire à sténopé (« Pinhole ») [Abdel-Aziz 1971],
- Transformation perspective parfaite de centre O_c (centre optique de la caméra),
- La distance OcO' est la distance focale f de la caméra,
- L'axe optique $OcZc$ intersecte le plan image en O' (centre de l'image)
- Les axes Xc et Yc sont perpendiculaires au plan image.

TSP IMA4503 - Vision 3D Modeles de capteurs M.Mallerm 8



**Modélisation géométrique de caméra :
Modèle interne (Mint)**

$\tilde{p} = T_{HR} T_{pers} T_{co} \tilde{P}$

point image intrinsèques extrinsèques point 3D

- Projection perspective du point P en P' exprimé dans R_c ,
- Transformation de R_c dans R_e (Rotation + homothétie).

TSP IMA4503 - Vision 3D Modèles de capteurs M.Mallerm

10

Modèle Sténopé : Projection perspective

1 – T_{pers} ? Projection perspective , exprimée dans R_c , de $P(X Y Z)$ t en $P'(X' Y' Z')$:

Pt 3D → Plan image

On a : $\frac{Y}{Z} = \frac{Y'}{f}$ $\Rightarrow Y' = \frac{Yf}{Z}$

De même en X :

$$X' = \frac{Xf}{Z}$$

$$Z' = f$$

f : focale de la caméra

TSP IMA4503 - Vision 3D Modèles de capteurs M.Mallerm

11

Modèle Sténopé : Projection perspective

1 – Projection, exprimée dans R_c , de P en P' :

Pt 3D → Plan image

$$\tilde{p} = T_{HR} \begin{bmatrix} 1 & 0 & 0 & 0 \\ 0 & 1 & 0 & 0 \\ 0 & 0 & 1 & 0 \\ 0 & 0 & 1/f & 0 \end{bmatrix} T_{co} \tilde{P}$$

$$\begin{pmatrix} sX' \\ sY' \\ sZ' \\ s \end{pmatrix} = \begin{pmatrix} 1 & 0 & 0 & 0 \\ 0 & 1 & 0 & 0 \\ 0 & 0 & 1 & 0 \\ 0 & 0 & 1/f & 0 \end{pmatrix} \begin{pmatrix} X \\ Y \\ Z \\ 1 \end{pmatrix} \quad (1)$$

$$\Leftrightarrow \begin{pmatrix} X' \\ Y' \\ Z' \\ f \end{pmatrix} = \begin{pmatrix} fX/Z \\ fY/Z \\ f \\ f \end{pmatrix}$$

TSP IMA4503 - Vision 3D Modèles de capteurs M.Mallerm

12

Modèle Sténopé : Rotation et mis à l'échelle

2 – THR : Transformation de Rotation et de Mise à l'échelle du plan image ($m \rightarrow \text{pixel}$)

$$\tilde{P}'_{re} = T_{HR} P'_{re} + t_{re}$$

$$\Leftrightarrow \begin{pmatrix} u \\ v \\ w \end{pmatrix} = T_{HR} \begin{pmatrix} X' \\ Y' \\ Z' \end{pmatrix} + \begin{pmatrix} u_0 \\ v_0 \\ w_0 \end{pmatrix}$$

$$\Leftrightarrow \begin{pmatrix} u \\ v \\ w \end{pmatrix} = \begin{bmatrix} k_x & 0 & 0 & u_0 \\ 0 & k_y & 0 & v_0 \\ 0 & 0 & 0 & 1 \end{bmatrix} \begin{bmatrix} -1 & 0 & 0 \\ 0 & 1 & 0 \\ 0 & 0 & -1 \end{bmatrix} \begin{pmatrix} X' \\ Y' \\ Z' \end{pmatrix} + \begin{pmatrix} u_0 \\ v_0 \\ w_0 \end{pmatrix}$$

K_u et K_v : facteurs d'échelles, respectivement en abscisse et en ordonnée exprimés en pixels/m). (u_0 et v_0) coordonnées de O' dans R_e . $w_0=0$, car O' se trouve dans le plan image.

TSP IMA4503 - Vision 3D Modeles de capteurs M.Mallem 13

Modèle Sténopé : Rotation et mise à l'échelle

2 – THR : Transformation de Rotation et de Mise à l'échelle du plan image ($m \rightarrow \text{pixel}$)

$$\tilde{P}' = \begin{bmatrix} -k_u & 0 & 0 & u_0 \\ 0 & k_v & 0 & v_0 \\ 0 & 0 & 0 & 1 \end{bmatrix} T_{pers} T_{co} \tilde{P} \quad (2)$$

$$\begin{pmatrix} u \\ v \\ w \end{pmatrix} = \begin{pmatrix} -k_u X' + u_0 \\ -k_v Y' + v_0 \\ 0 \end{pmatrix}$$

TSP IMA4503 - Vision 3D Modeles de capteurs M.Mallem 14

Modélisation géométrique de caméra : Modèle interne (Mint)

$$\tilde{P} = \underbrace{T_{HR} T_{pers}}_{\text{point image intrinsèques}} \underbrace{T_{co}}_{\text{extrinsèques}} \underbrace{\tilde{R}}_{\text{point 3D}}$$

$\begin{pmatrix} su \\ sv \\ s \end{pmatrix} = \begin{bmatrix} -k_u & 0 & 0 & u_0 \\ 0 & k_v & 0 & v_0 \\ 0 & 0 & 0 & 1 \end{bmatrix} \begin{bmatrix} 1 & 0 & 0 & 0 \\ 0 & 1 & 0 & 0 \\ 0 & 0 & 1 & 0 \\ 0 & 0 & 1/f & 0 \end{bmatrix} \begin{pmatrix} X \\ Y \\ Z \\ 1 \end{pmatrix} \quad (3)$

$\begin{pmatrix} su \\ sv \\ s \end{pmatrix} = \begin{bmatrix} -k_u f & 0 & u_0 \\ 0 & k_v f & v_0 \\ 0 & 0 & 1 \end{bmatrix} \begin{bmatrix} X \\ Y \\ Z \\ 1 \end{bmatrix} = \begin{bmatrix} \alpha_u & 0 & u_0 & 0 \\ 0 & \alpha_v & v_0 & 0 \\ 0 & 0 & 1 & 0 \end{bmatrix} \begin{pmatrix} X \\ Y \\ Z \\ 1 \end{pmatrix}$

Mint α_u : $-k_u f$ (taille focale en pixels selon les abscisses) α_v : $-k_v f$ (taille focale en pixels selon les ordonnées) $1/k_u$: dimension en abscisse du pixel (m/pixel) $1/k_v$: dimension en ordonnée du pixel (m/pixel) (u_0, v_0) : coordonnées pixels de la projection de O_c dans le plan image

TSP IMA4503 - Vision 3D Modeles de capteurs M.Mallem 15

Modélisation géométrique de caméra :
Modèle externe (Mext)

$$\tilde{P} = \underbrace{T_{HR}}_{\text{Rotation R,}} \underbrace{T_{pers}}_{\text{Translation T.}} \underbrace{T_{co}}_{\omega} \tilde{P}$$

TSP IMA4503 - Vision
3D

Modeles de capteurs M.Mallerm

16

Modélisation géométrique de caméra :
Modèle externe

Le Modèle externe (*Mext*) est la composition
des transformations **R** et **T** :

$$\begin{pmatrix} R_{C/0} & t_x \\ 0 & 0 & 0 \\ 0 & 0 & 1 \end{pmatrix} \quad (M_{ext})$$

TSP IMA4503 - Vision
3D

Modeles de capteurs M.Mallerm

17

Modélisation géométrique de caméra :
Modèle externe

1 – Changement de repère
Global → Caméra

$$\tilde{P} = T_{HR} T_{pers} \begin{bmatrix} r_{11} & r_{12} & r_{13} & t_x \\ r_{21} & r_{22} & r_{23} & t_y \\ r_{31} & r_{32} & r_{33} & t_z \\ 0 & 0 & 0 & 1 \end{bmatrix} \tilde{P}$$

TSP IMA4503 - Vision
3D

Modeles de capteurs M.Mallerm

18

Modélisation d'une caméra : modèle global

Le modèle complet est alors :

$$\begin{bmatrix} su \\ sv \\ s \end{bmatrix} = \begin{bmatrix} \alpha_u & \gamma & u_0 & 0 \\ 0 & \alpha_v & v_0 & 0 \\ 0 & 0 & 1 & 0 \end{bmatrix} \begin{bmatrix} r_{11} & r_{12} & r_{13} & t_x \\ r_{21} & r_{22} & r_{23} & t_y \\ r_{31} & r_{32} & r_{33} & t_z \\ 0 & 0 & 0 & 1 \end{bmatrix} \begin{bmatrix} X \\ Y \\ Z \\ 1 \end{bmatrix}$$

point image
(pixel) Mint Mext point 3D
(en m)

$\alpha_u = -k_u f; \alpha_v = k_v f; \gamma = 0$

TSP IMA4503 - Vision 3D Modèles de capteurs M.Mallem 19

Modélisation d'une caméra : modèle global

- La composition des modèles interne et externe donne le Modèle global M :

$$M = \begin{bmatrix} \alpha_u r_{11} + u_0 r_{31} & \alpha_u r_{12} + u_0 r_{32} & \alpha_u r_{13} + u_0 r_{33} & \alpha_u t_x + u_0 t_z \\ \alpha_v r_{21} + v_0 r_{31} & \alpha_v r_{22} + v_0 r_{32} & \alpha_v r_{23} + v_0 r_{33} & \alpha_v t_y + v_0 t_z \\ r_{31} & r_{32} & r_{33} & t_z \end{bmatrix} = \begin{bmatrix} m_{11} & m_{12} & m_{13} & m_{14} \\ m_{21} & m_{22} & m_{23} & m_{24} \\ m_{31} & m_{32} & m_{33} & m_{34} \end{bmatrix}$$

$$\Leftrightarrow \begin{bmatrix} \alpha_u r_i + u_0 r_3 \\ \alpha_v r_i + v_0 r_3 \\ r_3 \end{bmatrix} = \begin{bmatrix} m_i \\ m_{14} \\ m_{24} \end{bmatrix} \quad (4)$$

avec : $r_i = (r_{i1} \ r_{i2} \ r_{i3})$ et $m_i = (m_{i1} \ m_{i2} \ m_{i3})$, $i = 1, 2, 3$

TSP IMA4503 - Vision 3D Modèles de capteurs M.Mallem 20

Modélisation géométrique de caméra : Modèle global

- Le calcul des paramètres intrinsèques et extrinsèques s'obtient en identifiant le modèle global M avec les modèles $Mint$ et $Mext$:

$$\left\{ \begin{array}{l} r_3 = m_3 \\ u_0 = m_1 \cdot m_3 \\ v_0 = m_2 \cdot m_3 \\ \alpha_u = \|m_1 \times m_3\| \\ \alpha_v = \|m_2 \times m_3\| \\ r_1 = \frac{1}{\alpha_u} (m_1 - u_0 \cdot m_3) \\ r_2 = \frac{1}{\alpha_u} (m_2 - u_0 \cdot m_3) \\ t_x = \frac{1}{\alpha_u} (m_{14} - u_0 \cdot m_{34}) \\ t_y = \frac{1}{\alpha_u} (m_{24} - u_0 \cdot m_{34}) \\ t_z = m_{34} \end{array} \right. \quad (5)$$

TSP IMA4503 - Vision 3D Modèles de capteurs M.N 21

Modélisation d'une caméra : application du modèle global

$$\begin{bmatrix} su \\ sv \\ s \end{bmatrix} = M \text{ int } Mext \begin{bmatrix} X \\ Y \\ Z \\ 1 \end{bmatrix} = M \begin{bmatrix} X \\ Y \\ Z \\ 1 \end{bmatrix}$$

$$\begin{bmatrix} su \\ sv \\ s \end{bmatrix} = \begin{bmatrix} m_{11} & m_{12} & m_{13} & m_{14} \\ m_{21} & m_{22} & m_{23} & m_{24} \\ m_{31} & m_{32} & m_{33} & m_{34} \end{bmatrix} \begin{bmatrix} X \\ Y \\ Z \\ 1 \end{bmatrix} = \begin{bmatrix} m_1 & m_{14} \\ m_2 & m_{24} \\ m_3 & m_{34} \end{bmatrix} \begin{bmatrix} X \\ Y \\ Z \\ 1 \end{bmatrix} \Leftrightarrow \begin{cases} u = P'm_1 + m_{14} \\ v = P'm_2 + m_{24} \\ n_u = m_1 - u.m_3 \\ n_v = m_2 - v.m_3 \end{cases} \quad (6)$$

$\Leftrightarrow \begin{cases} P'n_u + a_u = 0 \\ P'n_v + a_v = 0 \end{cases}$, avec $n_u = m_1 - u.m_3$ $n_v = m_2 - v.m_3$ $a_u = m_{14} - u.m_{34}$ $a_v = m_{24} - v.m_{34}$

(6) Représente l'équation du rayon visuel porteur de P et de son image et passant par Oc.

TSP IMA4503 - Vision 3D Modèles de capteurs M.Mallein 22

Distorsion Radiale

Pas de distorsion coussinet Barrillet

✓ Distorsion radiale de l'image

- Causée par les imperfections de la lentille
- Les distorsions sont importantes sur les bords de l'image

TSP IMA4503 - Vision 3D Modèles de capteurs M.Mallein 23

Distorsion Radiale - Exemple

Modeles de capteurs M.Mallein 24

Modélisation géométrique de caméra : Modélisation des distorsions

- (3) suppose que le modèle de la caméra est linéaire.
- Physiquement il existent des distorsions optiques (radiales) :
- (3) devient :

$$\begin{cases} u = \alpha_u \cdot x + u_0 + \Delta u \\ v = \alpha_v \cdot y + v_0 + \Delta v \end{cases} \quad (3b)$$

avec

$$\begin{cases} \Delta u = k((u - u_0)^2 + (v - v_0)^2)(u - u_0) \\ \Delta v = k((u - u_0)^2 + (v - v_0)^2)(v - v_0) \end{cases}$$

TSP IMA4503 - Vision
3D

Modeles de capteurs M.Mallerm

25

Modélisation géométrique de caméra : Modélisation des distorsions

- Distorsion radiale

$$\begin{cases} u' = u - \Delta u(u, v) \\ v' = v - \Delta v(u, v) \end{cases}$$

TSP IMA4503 - Vision
3D

26

Calibration d'une caméra : procédure (principe général)

1. Placer une cible d'étalonnage devant la caméra
2. Repérer la position de chaque marqueur de la cible dans l'image

On obtient une liste de coordonnées 3D (Global) accompagnées de leur projection dans l'image

$$\begin{bmatrix} [u_1 & v_1] \\ [u_2 & v_2] \\ \vdots \\ [u_N & v_N] \end{bmatrix} \leftrightarrow \begin{bmatrix} [X_1 & Y_1 & Z_1] \\ [X_2 & Y_2 & Z_2] \\ \vdots \\ [X_N & Y_N & Z_N] \end{bmatrix}$$

TSP IMA4503 - Vision
3D

Modeles de capteurs M.Mallerm

27

Calibration d'une caméra : procédure (idée générale)

1. Placer une cible d'étalonnage devant la caméra

2. Repérer la position de chaque marqueur de la cible dans l'image

3. On obtient une liste de coordonnées 3D (global) accompagnées de leur projection dans l'image

$$\begin{bmatrix} u_1 & v_1 \\ u_2 & v_2 \\ \vdots & \vdots \\ u_N & v_N \end{bmatrix} \Leftrightarrow \begin{bmatrix} X_1 & Y_1 & Z_1 \\ X_2 & Y_2 & Z_2 \\ \vdots & \vdots & \vdots \\ X_N & Y_N & Z_N \end{bmatrix}$$

4. Chaque pt nous donne 2 équations de plans et on a 11 inconnues (5 intr. + 6 extr. car il y a 6 contraintes sur R)

5. On construit un système d'équations linéaires qu'on peut résoudre à l'aide des techniques d'algèbre linéaire standards (moindre carrés) $\rightarrow m_{ij}$

6. On extrait, s'il y a lieu, les paramètres explicites $\alpha, \beta, t_x, \dots$

TSP IMA4503 - Vision 3D Modèles de capteurs M.Mallein 28

Calibration de caméra Estimation des m_{ij}

• Le modèle global M permet d'exprimer les coordonnées images d'un point P de la scène 3D, (6) s'écrit aussi :

$$\begin{cases} u = m_{11}x + m_{12}y + m_{13}z + m_{14} \\ m_{31}x + m_{32}y + m_{33}z + m_{34} \\ m_{21}x + m_{22}y + m_{23}z + m_{24} \\ m_{31}x + m_{32}y + m_{33}z + m_{34} \end{cases} \quad (6)$$

• Calibrer la caméra revient à estimer les 12 coefficients de M : 6 points minimum, non tous coplanaires, sont alors requis.

• Le système précédent peut s'écrire pour chaque point P_i :

$$m_{11}x_i + m_{12}y_i + m_{13}z_i + m_{14} - u_im_{31}x_i - u_im_{32}y_i - u_im_{33}z_i = u_im_{34} \quad (7)$$

$$m_{21}x_i + m_{22}y_i + m_{23}z_i + m_{24} - v_im_{31}x_i - v_im_{32}y_i - v_im_{33}z_i = v_im_{34}$$

TSP IMA4503 - Vision 3D Modèles de capteurs M.Mallein 29

Calibration de caméra Estimation des m_{ij}

• On obtient alors $2N$ équations pour N points, la forme matricielle

$$\begin{bmatrix} x_i & y_i & z_i & 1 & 0 & 0 & 0 & 0 & -u_ix_i & -u_iy_i & -u_iz_i & \vdots \\ 0 & 0 & 0 & 0 & x_i & y_i & z_i & 1 & -v_ix_i & -v_iy_i & -v_iz_i & \vdots \\ \vdots & \vdots \end{bmatrix} \begin{bmatrix} m_{11} \\ m_{12} \\ m_{13} \\ m_{14} \\ m_{21} \\ m_{22} \\ m_{23} \\ m_{24} \\ m_{31} \\ m_{32} \\ m_{33} \end{bmatrix} = \begin{bmatrix} u_im_{34} \\ v_im_{34} \\ \vdots \end{bmatrix} \quad (8)$$

• Il s'agit d'un système linéaire de la forme : $H.m = p$

• Une solution au sens des moindres carrés donne :

$$m = (H^T H)^{-1} H^T p \quad (9)$$

TSP IMA4503 - Vision 3D Modèles de capteurs M.Mallein 30

Calibration de caméra Estimation des mij

- Identification du modèle sténopé linéaire(sans distorsions) :Optimisation au sens des moindres carrés:

$$\tilde{p} = H \cdot m$$

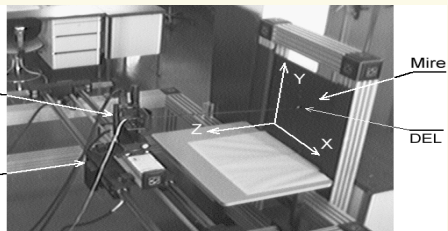
$$m = (m_{11}, m_{12}, m_{13}, \dots, m_{33})^T$$

où \tilde{p} est l'échantillon des N points images mesurés, et H, la matrice de mesures (2N lignes, 11 colonnes)

Le vecteur m est identifié en minimisant le critère suivant :

$$Critere = Min \| (H \cdot \hat{m} - \tilde{p}) \|^2$$

Banc de Calibration



- Calibration manuelle : montage, temps, précision,
- Calibration automatique basée sur celle du robot

Calibration automatique de caméra

Conditions expérimentales :

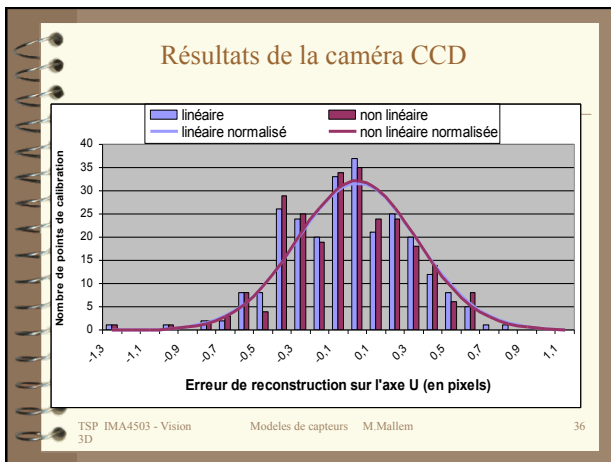
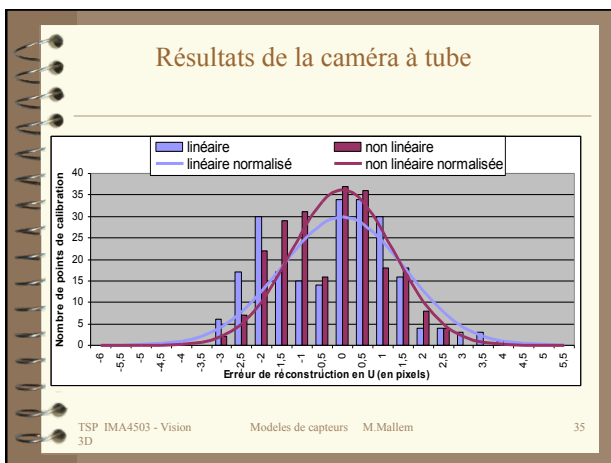
- Caméra CCD:- focale 25 mm,définition:756x581 photoéléments.
- Caméra à tube:- focale 25 mm.
- Distance caméra-plans de calibration : 1-2mètres.
- Définition de la carte graphique : 768x576 pixels.
- Robot à 4 d.d.l.(PPRR)($\Delta\theta=1/100^\circ$, $\Delta X=1/10$ mm).

Calibration automatique de caméra

Protocole expérimental :

- 1 - Calibration du mini robot / à la mire.
- 2 - Pré calibration de la caméra → le champ visuel de la caméra.
- 3 - Calibration automatique de la caméra.

TSP IMA4503 - Vision Modeles de capteurs M.Mallem 34



Calibration automatique de caméra : apports

- **Evaluation rapide et précise de modèles de caméra .**
- **Non utilisation d'un objet étalon.**
- **Calibration automatique si caméra en mouvement.**

TSP IMA4503 - Vision Modèles de capteurs M.Mallem 37

Calibration d'une caméra : Notes sur les techniques d'étalonnage (1/2)

- Il existe plusieurs techniques d'étalonnage
 - Zhang, Tsai, Heikkilä, Faugeras, etc.
- Le type de cible et le modèle de la caméra utilisé changent
- Le système d'équations à résoudre diffère en fonction de ces variantes
- L'idée est toujours la même : trouver les paramètres permettant de faire le "mapping" entre les points de l'espace et leur position dans l'image.**

TSP IMA4503 - Vision Modèles de capteurs M.Mallem 38

Calibration d'une caméra : Notes sur les techniques d'étalonnage (2/2)

Prise en compte de la distorsion des lentilles

- La plupart des techniques incluent des paramètres de distorsion dans leur modèle.
- L'ajout de ces paramètres rend le système à résoudre non-linéaire.
- On procède alors en 2 étapes :
 - En supposant la distorsion nulle, on résout le système linéaire
 - Partant de cette estimation initiale, on détermine les paramètres de distorsion à l'aide de techniques d'optimisation non-linéaires

TSP IMA4503 - Vision Modèles de capteurs M.Mallem 39

Calibration Planaire [Zhang 1999]

- ✓ Dans les méthodes précédentes, la calibration exigeait que tous les points ne soient pas co planaires. Les exemples de mires utilisées sont données ci-dessous :



Note: Une telle armada, n'est pas forcément nécessaire !

TSP IMA4503 - Vision Modeles de capteurs M.Mallein 3D

Calibration Planaire [Zhang 1999]

- ✓ L'idée est de proposer une méthode de calibration qui permet une calibration en s'affranchissant de la conception de mires complexes.
- ✓ Une grille plane imprimée en N/B sur une feuille de papier et montrée sous plusieurs vues à la caméra suffit. Le mouvement de la caméra ou de la grille n'est pas à connaître.
- ✓ Les paramètres extrinsèques sont estimés relativement au référentiel lié à la grille de calibration.
- ✓ Claim to Fame: est un outil basé sur l'algorithme de Zhang et utilisé par MS Research. Matlab Camera Calibration Toolbox utilise également cet algorithme.

TSP IMA4503 - Vision Modeles de capteurs M.Mallein 3D

Étalonnage de votre caméra :méthode de Zhang ou celle disponible dans OpenCV

Caractéristiques de la technique de Zhang

- ✓ Simple, robuste et précise
- ✓ Utilise une cible plane
- ✓ Nécessite au moins trois prises de vue (non coplanaires) à cause des paramètres intrinsèques
- ✓ Prend en compte la distorsion des lentilles

Procédure à suivre :

Procédure d'étalementage de Zhang

TSP IMA4503 - Vision Modeles de capteurs M.Mallein 3D

Méthodes de calibration géométrique avec code disponible sur internet

- ✓ Zhengyou Zhang (Microsoft research)
<http://research.microsoft.com/en-us/um/people/zhang/calib/>
- ✓ Janne Heikkila (Oulu Univ.)
<http://www.ee.oulu.fi/~jth/calibr/>
- ✓ Lien potentiellement intéressant (pour travaux pratiques):
http://www.vision.caltech.edu/bouguetj/calib_doc/htmls-links.html

TSP IMA4503 - Vision Modeles de capteurs M.Mallem 43

Bibliographie

- [Abdel-Aziz et Karara, 1971] Y.I Abdel-Aziz et H.M. Karara (1971). Direct linear transformation into object space coordinates in close-range photogrammetry. In Proceedings of the ASP/UI Symposium on Close-Range photogrammetry, pages 1–18, Urbana. University of Illinois at Urbana-Champaign.
- [Tsai, 1987] R. Y. Tsai (1987). A versatile camera calibration technique for high-accuracy 3d machine vision metrology using off-the-shelf tv cameras and lenses. IEEE Journal of Robotics and Automation, RA-3(4) :323–344.
- [Zhang, 1999] Z. Zhang (1999). Flexible camera calibration by viewing a plane from unknown orientations. in International Conference on Computer Vision, volume 1, page 666, Corfu, Greece

TSP IMA4503 - Vision Modeles de capteurs M.Mallem 44

Questions sur le cours

- Q1 : Calculer les paramètres globaux mij ($i=1..3 ; j=1..4$) en fonction des paramètres intrinsèques et extrinsèques tels que définis dans le cours.
- Q2 : Quelles est la signification physique de m34.
- Q3 : Quelle est la condition utilisée pour l' estimation des mij au sens de la méthode des moindres carrés.
- Q4 : Calculer uo et vo en fonction des mij.

TSP IMA4503 - Vision Modeles de capteurs M.Mallem 45

